

粒状体のシート内の流れと堆積

東北大学工学部 学生員 須田 総
 " 正員 佐武正雄
 " " 岸野信次

1. まえがき

近来、シートを流れる砂や粉体の運動に関しては、おもに粉体工学の分野において実験的に研究されてきているが、シートを流下する粉体や粒状体の力学的性質に関する理論はまだ確立されていないようと思われる。著者らは、粒径が2~10mmの粒子よりなる粒状体を対象として、先ず図-1に示すような装置及びビデオ録画装置を用いて実験を行ない、種々の条件下における粒子とシートの間の摩擦係数を算定した。次にホッパ及バシネットより放出された粒子の堆積の形状を観察する実験を行ない、安息角を求めた。本稿はこれらの実験結果をもとにシートを流下する粒状体の性質に関する考察を示したものである。

2. 実験とその結果

実験に用いた粒状体流下装置を図-1に示す。シートは溝形断面であり、直角はYXキヤウム板、側板は外から粒子の運動を観察しやすさないように、透明なガラス板でできている。粒子は軽量で取り扱い易いこと、すぐこの粒子の表面が全体として均質であることを考慮して、トトロード骨材Xサライト（単位重量0.926kg/l）を使用し、粒径5~10mmと粒径2~5mmをそれぞれ基本粒度とした。

実験は最初に、ビデオ録画装置（Y=-1・ビデオユーダー、モニターとカメラ）を用いて粒子を直接追跡するこにより速度を求めた。その結果、粒子はいわゆるPlug-flowとして流れしており、流速と流下距離の関係は図-2に示す通りである。この図によれば、粒子の運動は摩擦係数を考慮に入れた運動方程式

$$\frac{d^2s}{dt^2} = g(\sin\beta - \mu \cos\beta) \quad (1)$$

により解析することは可能である。

流下の予測された位置にトタン（2.5×2.5cm）を並べてその中に投入した粒子をもとに算出した平均的な溝下位置によりμを求め方針は簡単であり、ビデオ撮りの場合の結果とほとんど同じ値を得た。μは式により求まる。

$$\mu = \tan\beta - \frac{v^2 - v_0^2}{2gs \cos\beta} \quad (2)$$

$$v^2 = \frac{g}{2} \frac{s_{c2}^2}{\cos^2\beta (H_c - x_c \tan\beta)} \quad (3)$$

ここで s_c は溝下位置、 H_c は溝下高さである（図-2）。

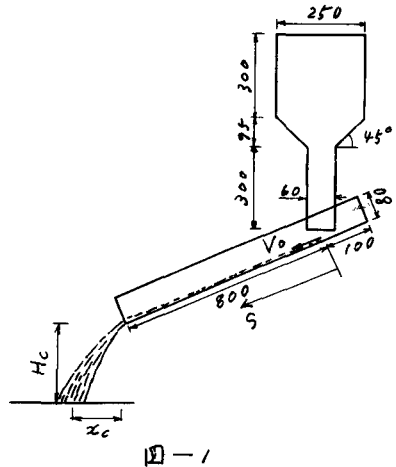


図-1

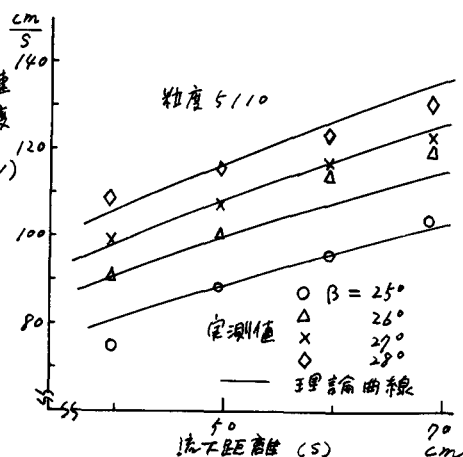


図-2

実験はシートの角度 $\beta = 38^\circ, 40^\circ, 42^\circ$ と 44° に対して行なった。なお、シート幅をがえることによって流れの状態を変化させた。結果は表-1に示す通りである。混合粒度の比はもやぎの基本粒度の重量比である。

次に、粒状体の堆積の安息角を求めるために、透明アクリル板 ($40\text{ cm} \times 80\text{ cm}$) を平行に 4 cm 離して固定した装置に、ホッパー(出口寸法 $2\text{ cm} \times 3.0\text{ cm}$) から、落下高さ h で常に一定にして鉛直方向より、また、堆積基準面より 2 cm の高さで固定して斜め方向より粒子(粒度 $2/15$) を放出し堆積させ実験を行なった。なお、堆積面の影響をできるだけ除いたために、堆積板の間にあらかじめ数 cm の厚さで粒子を敷くとした。実験結果は表-2に示す通りである。

表-1

3. 結果

摩擦係数は 1.12

表-1によれば、粒子径が大きくなると逆に、摩擦係数は小さくなる。また、混合粒度の場合には基本粒度の大きいもの摩擦係数の平均的な値となる、と思われる。

文献1によれば、シートを流れる粒子の摩擦係数ははうの状態で 44° 変化し

$$\mu' = \mu \left(1 + \tan \frac{H}{6} \right) \quad (4)$$

なる式で与えられるといふ。ここで μ は粒子とシート表面の物理的性質により定まる摩擦係数、 $H/6$ は流れの層厚とシート幅の比である。しかし本実験より求められた μ と μ' の関係によれば、 μ は $0.6 \sim 0.8$ 程度の大さな値となる。この原因として、式(4)が砂のようにまがい粒子に対する専門的なものであること、また、大きな粒子の流れの層厚を厳密に測定することは難しいことなどが考えられる。

堆積の安息角について

表-2によれば、 h_c が大きい場合や β が大きい場合、堆積に衝突する粒子の速度が速いので、安息角は小さくなる傾向にある。しかし、 h_c の場合にかけても安息角の違いは小さい。この理由は、粒子同士のかみ合せの影響が大きいため、と思われる。

4. まとめ

摩擦係数を考慮した運動方程式により粒子の流れを解析する場合、摩擦係数が流れの状態により変化する。この点について今後、研究を進めていきたいと考えている。また、粒状体の堆積の安息角だけでなく、堆積の中の粒度偏析についても、今後、研究を進めていきたいと思つていい。

| h_c | 5/10 | 4:1 | 1:1 | 1:4 | 2/15 |
|--------|----------------------|----------------------|----------------------|----------------------|----------------------|
| 8.0 cm | 0.499 ± 0.009 | 0.532 ± 0.014 | 0.514 ± 0.028 | 0.553 ± 0.018 | 0.500 ± 0.030 |
| 5.3 cm | 0.594 ± 0.034 | 0.615 ± 0.033 | 0.618 ± 0.021 | 0.643 ± 0.041 | 0.616 ± 0.056 |
| 4.2 cm | 0.665 ± 0.018 | 0.697 ± 0.013 | 0.696 ± 0.017 | 0.710 ± 0.012 | 0.704 ± 0.029 |

表-2

(a)

| h_c | 10 cm | 20 cm | 30 cm |
|-------|-------------------|-------------------|-------------------|
| 1000g | 35.2 ± 0.4 | 34.8 ± 0.7 | 34.6 ± 0.2 |

(b)

| h_c | 400g | 600g | 800g | 1000g | 1200g |
|-------|-------------------|-------------------|-------------------|-------------------|-------------------|
| 30° | 37.9 ± 0.2 | 39.9 ± 0.9 | 40.9 ± 0.6 | 41.8 ± 0.5 | 42.3 ± 1.2 |
| 35° | 36.9 ± 0.6 | 39.4 ± 0.7 | 39.7 ± 0.9 | 39.9 ± 0.5 | 41.3 ± 0.8 |

単位 [度]

- 参考文献 1) A.W. Roberts, Journal of Engineering for Industry, May (1969), 393-401
2) D.A. Aufenstein & R. Hogg, Powder Technology, 10 (1974), 43-49